

報 文

화학공학 제 4 권 제 3 호
J. KICHE, Vol. 4, No. 3
Dec. 1966

低質鐵礦石의 還元*

—I. 反應速度式—

南宮 寔* · 柳 慶 玉**

Reduction of Iron Ore by the Fluidized-Mixed Bed
—Kinetics of Reduction of Iron Ore—

Shik Namkoongt, * and Kyong Ok Yoo*

*Dept. of Chem. Eng., College of Eng., Hanyang Univ.

Reduction of domestic iron ore by carbon mono-oxide was studied. It was found that reduction rate of iron ore follows first order consecutive reaction.

緒論

國內에서 產生되는 鐵礦石의 大部分은 鐵含量이 50% 以下의 低質鐵이며 더욱 이 鐵礦石들은 國內產業에 直接利用되기 않고 原礦을 輸出하는 형편이다.

이에 本研究는 無煙炭을 利用해서 鐵礦石中의 酸化鐵을 還元시키므로써 鐵含量이 높은 海綿鐵을 만들어 國內產業에 이바지 하자는데 그 目的이 있다.

海綿鐵製法은 高溫인 熔鑄爐에 依한 製鐵보다 큰 利點이 있다. 즉, 熔鑄爐의 操作溫度가 1500°C 以上的 高溫임에 反하여 海綿鐵의 製造는 1000°C 以下의 比較的 낮은 溫度에서 可能하므로 經濟의 으로 有利하며 操作過程도 간편하다.

海綿鐵 製造方法¹⁾²⁾³⁾을 反應形式으로 區別해 보면 炭素와 鐵礦石이 直接還元을 이트키는 固固系反應法과 水素 또는 一酸化炭素 같은 氣體에 依해서 間接의 으로 還元시키는 氣固系反應法이 있다.

그런데 固固系反應은 炭素粉과 鐵礦粒을 流動粒子로 하고 窒素 gas를 流動 gas로 하여 流動層을 利用하는 方法과 真空中에서 炭素와 鐵礦石를 反應시키는 方法等이 있는데 裝置가 復雜할 뿐 아니라 還元時間이 긴 缺點이 있으며, 氣固系反應中 水素에 依한 還元은 400~

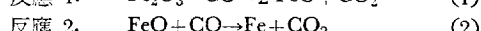
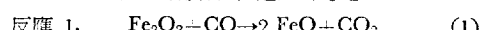
700°C에서 數時間內에 比較의 간단한 裝置로서 높은 還元率을 올릴 수 있지만 國내에는 水素供給源이 없는 缺點이 있다. 한편 一酸化炭素는 國내에서 많이 生產되는 無煙炭을 燃燒시키므로써 安價로 얻을 수 있으므로 本研究에서는 一酸化炭素에 低한 還元法을 擇하였다.

本報에서는 無煙炭燃燒와 이에 發生하는 一酸化炭素로써 鐵礦石를 還元시키는 데 適合하다고 本人들이 考案한 氣體流通 回分式反應器와 反應速度式 그리고 其他의 諸還元條件에 대해서 研究하고자 한다.

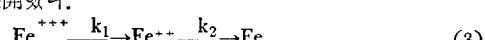
反應速度式

炭素에 依한 鐵礦石의 直接還元⁴⁾⁵⁾이나, 水素에 依한 間接還元⁶⁾⁷⁾⁸⁾⁹⁾에 對한 研究는 많으나 一酸化炭素에 依한 還元反應에 對한 報文¹⁰⁾은 그리 많지 않다. 그리고 이들 大部分은 熱天秤으로써 試料의 重量減少나, 真空中發生하는 CO₂量으로 還元率을 計算하여 이 還元率로서 反應速度式을 표시하였다.

이에 本研究에서는 鐵礦石의 還元과정을



의 두段階로 보고 다음의 逐次反應에 對해서 速度式을 展開했다.



萬一 一酸化炭素를 異ing으로 하고 酸素와 炭酸 gas가 反應器內에 存在하지 않는다면 反應은 不可逆一次反

* 1966년 10월 31일 수리

** 漢陽大 工大 化學科

應으로 解析할 수 있다.

지금 $n^{\text{III}}(\theta)$, $n^{\text{II}}(\theta)$ 를 각各 酸化物 Fe_2O_3 또는 FeO 中의 鐵分만의 mole濃度라고 하면, 反應速度式은 다음과 같이 된다.

$$-\frac{dn^{\text{III}}(\theta)}{d\theta} = k_1 n^{\text{III}}(\theta) \quad (4)$$

$$-\frac{dn^{\text{II}}(\theta)}{d\theta} = -k_1 n^{\text{III}}(\theta) + k_2 n^{\text{II}}(\theta) \quad (5)$$

로 되는데 初期條件 $n^{\text{III}}(0) = n_0^{\text{III}}$, $n^{\text{II}}(0) = n_0^{\text{II}}$ 를 써서 上式을 풀면

$$n^{\text{III}}(\theta) = n_0^{\text{III}} e^{-k_1 \theta} \quad (6)$$

$$n^{\text{II}}(\theta) = \frac{k_1 n_0^{\text{III}}}{k_2 - k_1} (e^{-k_1 \theta} - e^{-k_2 \theta}) + n_0^{\text{II}} e^{-k_2 \theta} \quad (7)$$

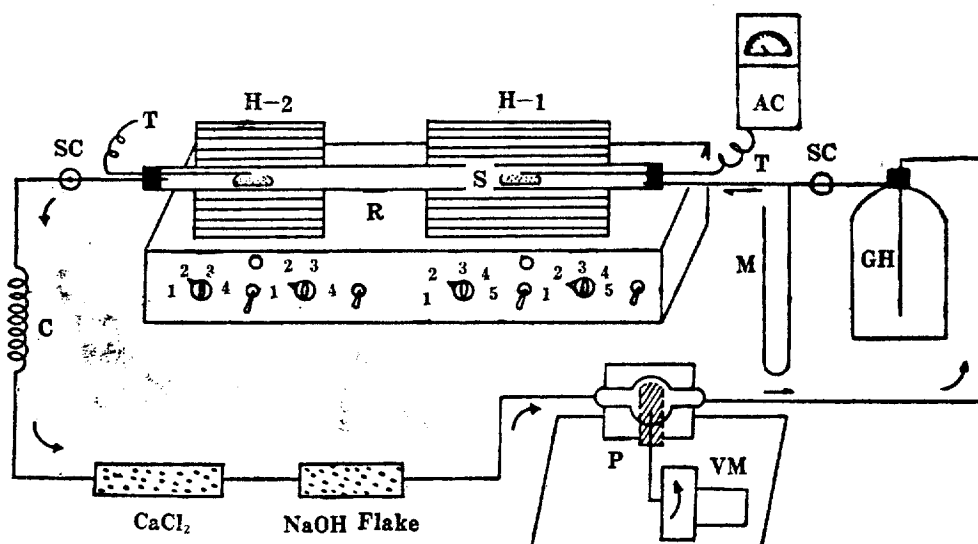
로 되는데 지금 Fe^{+++} , Fe^{++} 의 mole fraction 을 각各 $x^{\text{III}}(\theta)$, $x^{\text{II}}(\theta)$ 라 하고 (6), (7)式을 이로써 표시하면 다음과 같이 된다.

$$x^{\text{III}}(\theta) = x_0^{\text{III}} e^{-k_1 \theta}$$

$$x^{\text{II}}(\theta) = \frac{k_1 x_0^{\text{III}}}{k_2 - k_1} (e^{-k_1 \theta} - e^{-k_2 \theta}) + x_0^{\text{II}} e^{-k_2 \theta} \quad (9)$$

實驗 裝置

Fig. 1에 裝置의 개략을 표시하였다.



AC: Automatic temperature controller

C: Cooling system

GH: Gas holder

H-1, H-2: Electric heater

M: Manometer (Hg)

P: Cycling pump

R: Ceramic reactor (30mmφ x 0.7m)

S: Sampling boat

SC: Sampling cock

T: Chromel-Alumel thermocouple

VM: Speed variable motor

Fig. 1. Flow Sheet of Experimental Apparatus

反應管은 直徑 3 cmφ, 길이 70 cm 의 石英管이며 热源은 電氣爐인데 heater 1은 反應部이고 heater 2는 gas化 또는 反應氣中 酸素除去用이다. Heater 1, 2의 中央部 反應管 속에는 Chromel-Alumel 热傳對를 삽입시켜 溫度를 읽었고 溫度調節은 Westman 製 自動溫度調節計를 使用하였다.

Gas holder에 充眞된 反應 gas는 循環 pump(P)에 依해서 反應器中을 순환하게 되며, 水分과 濕氣時 炭

酸 gas 除去用으로 CaCl_2 管과 NaOH flake 管이 부착되어 있다. 또한 反應管 出入口에는 濕氣時 反應 gas를 채취하기 위한 sampling cock가 부착되어 있다. Gas 分析 裝置는 Simazu's Gas Chromatograph(GC-2B No. 86727)이다.

實驗 方法

鐵礦石試料는 金谷產 Hematite로 써 50~100 m.sh로

粉碎하여 3.00 g 을 ceramic boat에 넣어 反應部인 heater 1 中央部에, 그리고 反應器內 酸素를 除去하기 위하여 活性炭을 역시 ceramic boat에 넣어 heater 2 中央部에 넣고 反應管을 gas holder와 連結시킨다. Boardard 曲線¹⁾에 依하면 1000°C에서 炭素의 燃燒 gas는 거의 一酸化炭素이므로 heater 2를 1000°C로 올린 다음 gas holder와 연결하는 cock를 열고 순환 pump를 동작시켜 反應 gas를 순환시킨다.

대개 이 溫度에서 約 1時間동안 燃燒시키면 酸素는 完全히 除去되는데 gas analysis은 MS-13X와 silica gel column을 充填劑로 하여 gas chromatography로 行하였다. 酸素가 完全히 除去되었다는 것이 認知되면 gas 순환을 中止시키고 gas holder와 연결된 cock를 閉하고 常溫까지 냉각시킨다. 다음 heater 1을 加熱하여 所定의 溫度까지 올린 다음 20分間 예열한다. 다음 gas holder에 연결된 cock를 다시 열고 gas를 순환시키면서 所定시간 동안 反應시킨다. 그리고 一定한 간격으로 gas analysis을 行하여 反應 여부를 check 한다.

反應이 끝나면 cock를 막고 gas 순환을 中止한 상태에서 常溫으로 냉각시킨다.

反應後 試料를 定量分析하여 Fe^{+++} , Fe^{++} 그리고 金屬鐵의 量을 算出하였다. 分析法은 JIS 規格을 사용했다.

本實驗에서 溫度範圍는 700~1000°C, 反應時間은 0~180分, 反應器中 CO gas의 分壓은 0.11~0.84 atm, 反應器壓力은 ~1 atm 이다.

Table 1에는 사용한 鐵礦石 試料의 分析表를 표시하였다.

Table 1. 鐵礦石試料의 化學組成 分析表
[產地: 金谷鐵礦(Hematite)]

ΣFe	Fe^0	Fe^{++}	Fe^{+++}	O_2	SiO_2	CaO	S	sp. gr	n_r
48.35	0.22	7.55	40.58	28.50	20.50	3.08	0.064	4.16	1.4160

還元率은 酸化鐵中 酸素脫離量을 基準으로 하여 計算하였다. 즉, 還元率 q_{CA} 는

$$q_{CA} = \frac{n_o - n_r}{n_o} [-] \quad (10)$$

단, n_o : 試料의 結合酸素數

n_r : 反應後 試料 結合酸素數

$$\begin{aligned} n_j &= \frac{1}{\Sigma\text{Fe}} \left(\frac{\text{Fe}^{++}}{55.85} + \frac{\text{Fe}^{+++}}{55.85} \times \frac{3}{2} \right) (\text{단 } j=o, r) \\ &= \frac{\text{Fe}^{++}}{\Sigma\text{Fe}} + \frac{\text{Fe}^{+++}}{\Sigma\text{Fe}} \times \frac{3}{2} \\ &= x^I(\theta) + x^{II}(\theta) \times \frac{3}{2} \end{aligned} \quad (11)$$

實驗結果

(1) 一酸化炭素 分壓에 依한 영향

一酸化炭素量이 還元率에 미치는 영향을 調査하기 위하여, 예비實驗^{11,12)}에서 gas化 反應이나 鐵礦石 還元反應이 다 좋은 條件인 1000°C에서 CO 分壓을 0.11~0.84 atm 까지 變化시켜 보았는 데 0.11~0.84 atm範圍에서는 反應 1(즉, $\text{Fe}_2\text{O}_3 \rightarrow 2\text{FeO}$)만이 進行되었고 金屬鐵은 生成되지 않았다. $P_{CO}=0.5 \sim 0.6 \text{ atm}$ 에서는 金屬鐵은 生成되었으나 그 生成速度가 매우 느렸다. 그런데 0.6 atm 以上에서는 좋은 結果를 보였다. 즉 $P_{CO}=0.8 \text{ atm}$ 이상에서는 反應時間 120分 동안에 90% 以上的 還元率를 올렸다.

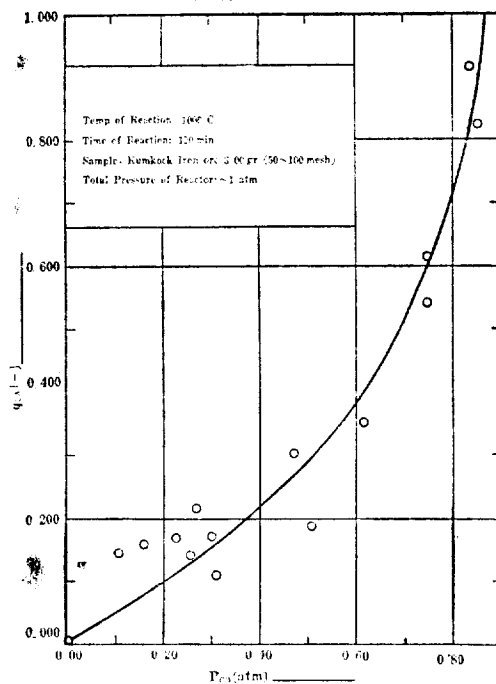


Fig. 2. Reduction Ratio(q_{CA}) vs Partial Pressure of CO gas.

Fig. 2로 부터 $P_{CO}=0.6 \text{ atm}$ 에서 數時間을 反應시킨다면 90% 以上的 還元率를 올릴 수 있다는 것을 예측할 수 있다. 이를 定量的으로 計算해 보면 1 mole의 Fe_2O_3 를 金屬鐵까지 完全히 還元시키려면 적어도 4 mole 以上的 一酸化炭素가 필요한 셈이다.

(2) 反應時間變化에 依한 영향

CO 量變化에 依한 還元率의 영향으로 $P_{CO}=0.6 \text{ atm}$ 以上이면 反應 1, 2 가 進行된다는 것을 알았다.

그런데 (8), (9)式은 CO gas가 과잉이라는 條件下에 展開된 式이므로 CO 量이 과잉이라고 認定되는

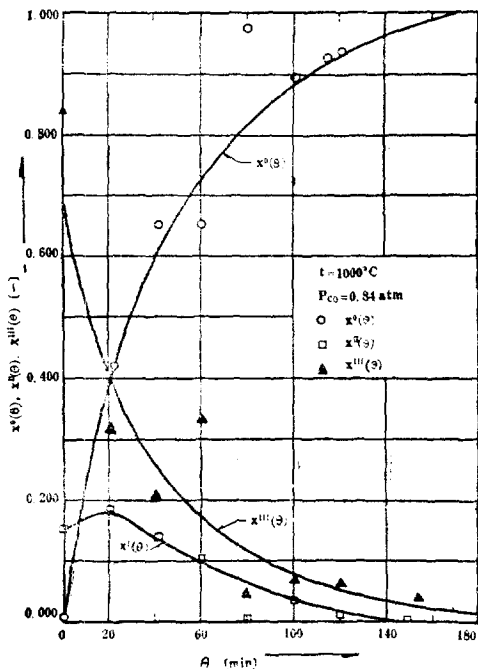


Fig. 3. $x^{\circ}(\theta)$, $x^1(\theta)$, $x^2(\theta)$, $x^3(\theta)$ vs Times of Reaction.

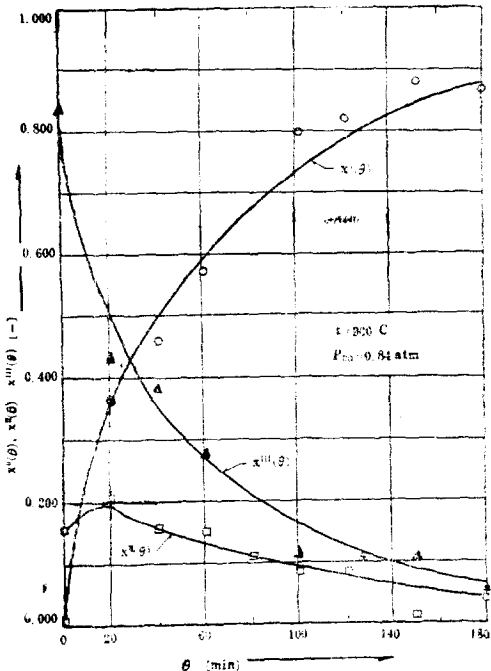


Fig. 4. $x^{\circ}(\theta)$, $x^1(\theta)$, $x^2(\theta)$, $x^3(\theta)$ vs Times of Reaction.

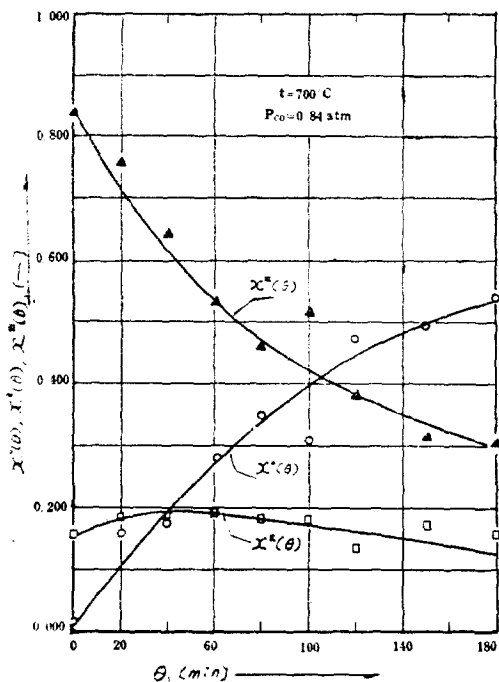


Fig. 5. $x^{\circ}(\theta)$, $x^1(\theta)$, $x^2(\theta)$, $x^3(\theta)$ vs Times of Reaction.

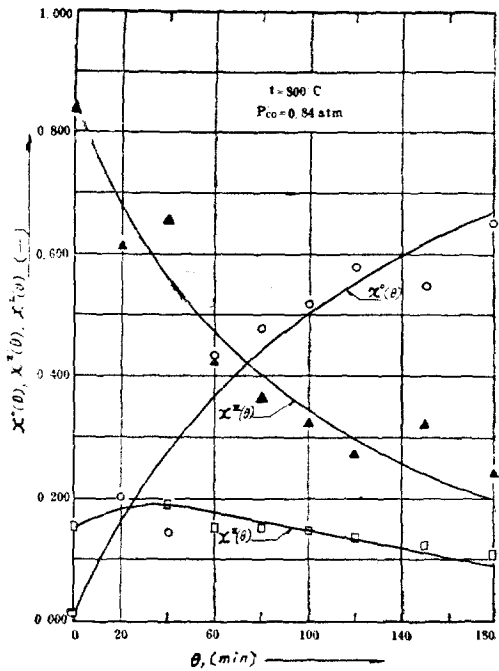


Fig. 6. $x^{\circ}(\theta)$, $x^1(\theta)$, $x^2(\theta)$, $x^3(\theta)$ vs Times of Reaction.

Table 2. 反應後 試料의 分析表
(t=1000°C, P_{CO}=0.84 atm)

θ [min]	$x^{\circ}(\theta) =$ $Fe^{\circ}/\sum Fe$ [-]	$x^{\ddagger}(\theta) =$ $Fe^{+\ddagger}/\sum Fe$ [-]	$x^{\ddagger\ddagger}(\theta) =$ $Fe^{++\ddagger}/\sum Fe$ [-]	D_r [-]	q_{CA} [-]
0	0.0045	0.1555	0.8400	1,4160	0.0000
20	0.4170	0.1940	0.3190	0.7805	0.4480
40	0.6500	0.1390	0.2110	0.5650	0.6000
60	0.6545	0.0105	0.3350	0.3750	0.7350
80	0.9550	0.0000	0.0450	0.2400	0.8290
100	0.8997	0.0356	0.0657	0.1470	0.8940
120	0.9240	0.0153	0.0607	0.0930	0.9310
150	0.9491	0.0039	0.0470	0.0420	0.9670

P_{CO}=0.84 atm 으로 하고 1000°C, 900°C, 800°C, 700°C에서 反應時間은 變化시킨 結果가 Fig. 3, 4, 5, 6에 表示되어 있다.

考 察

Fig 3~6을 考察해 보면 900°C 以上에서는 還元反應이 잘 일어나지만 800°C 以下에서는 저조한 상태이다. 그런데 熱力學的 data를 고찰해 보면 反應 1은 吸熱反應, 反應 2는 發熱反應인데 800°C 以下에서는 反應

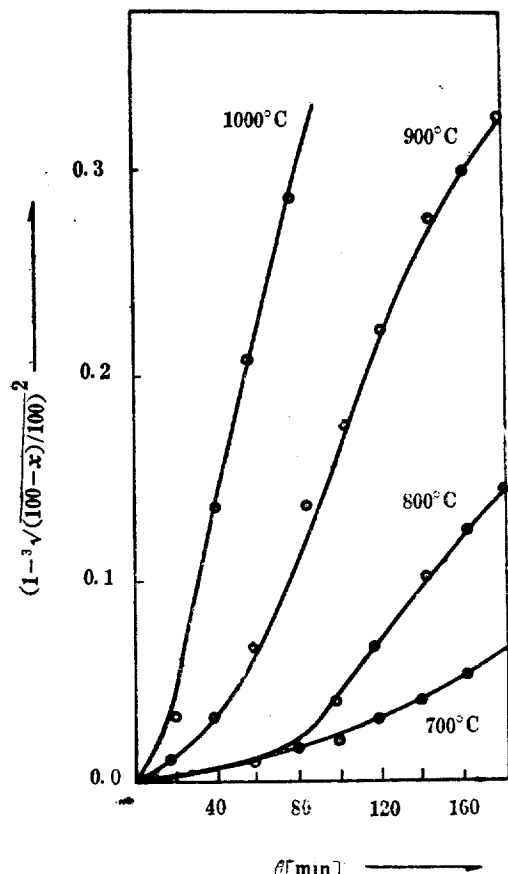


Fig. 7. $(1 - 3 \sqrt{100-x}/100)^2$ vs θ

이 일어 나는데 적합치 못한 温度라고 본다.

Fig. 7에는 Fig. 3~6의 smooth curve의 값을 써서 (以下 考察에서는 實測值대신 smooth cure 値를 使用한 다) Jander¹³⁾ 式 $(1 - 3 \sqrt{100-x}/100)^2 = k\theta$ 를 $(1 - 3 \sqrt{100-x}/100)^2$ 對 θ 로 點綴한 것인데 直線關係를 나타내지 못하고 있다. 또한 Mckewan¹⁴⁾, Feinman⁶⁾, Mcgeorge⁷⁾, Themelis⁸⁾ 井等⁹⁾ 等의 式과도 比較하여 보았지만 一致성이 없었다.

다음 (8), (9)式의 妥當性을 가리기 위해 Fig. 8에 종축을 $\log x^{\ddagger}(\theta)$, 橫축에 時間을 點綴한 것인데 $\theta=20$ 分 以上에서는 直線關係가 成立되지만 0~20分 사이에서는 成立되지 않는다. 그러나 各直線들을 外挿시키면 $\theta=20$ 分에 해당하는 點에서 $x^{\ddagger}(\theta)=0.84$ 에 모든 直線들은 集合한다.

$x^{\ddagger}(\theta)$ 의 初期值 $x_0^{\ddagger}=0.84$ 이고 反應前 20分 씩 예열해 준 것을 計算한다면 $\log x^{\ddagger}(\theta)$ vs θ 가 直線的關係가 成立한다는 것은 의심할 바가 없다. 즉 實際試料 3.00 g을 完全히 還元시킬 수 있는 一酸化炭素의 量을 化學量的으로 計算해 보면 約 0.02 mole 인데 이것은 P_{CO}=0.05 atm에 해당하는 적은 量이므로 gas holder와 反應管을 결연시키고 예열했다 하더라도 反應管中에 存在하는 CO와 鐵鑄石試料가 反應했다고 보아도 무리가 아니기 때문이다.

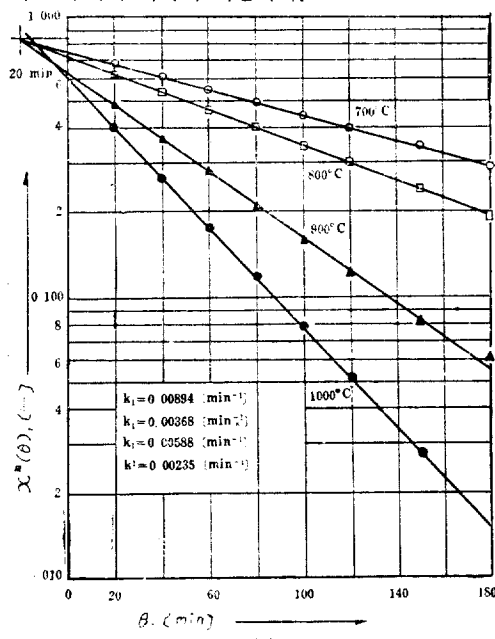


Fig. 8. $\log x^{\ddagger}(\theta)$ vs θ

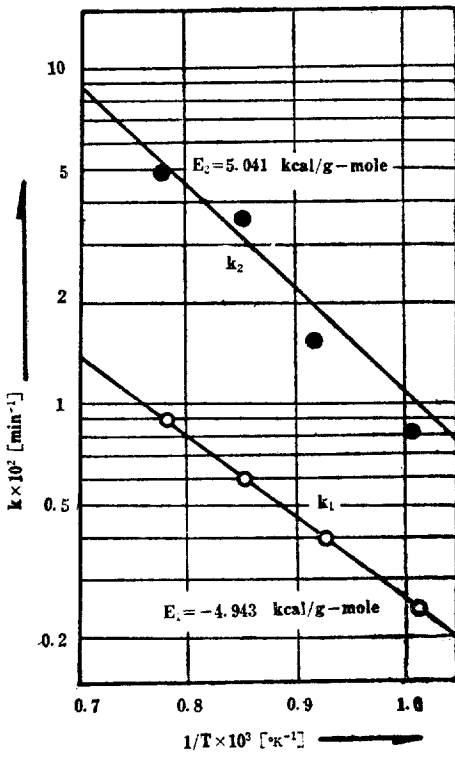


Fig. 9. $\log k$ vs $1/T$

Fig. 9에는 Fig. 8의 각直線의 slope으로 부터 計算된 反應 1의 速度定數 k_1 을 Arrhenius plot 한 것인데 그림에 보는바와 같이 直線關係가 잘 成立한다. 그리므로 反應 1은 非可逆一次反應으로 展開된 (8)式과 잘一致한다는 것을 알 수 있었다.

다음 反應 2의 速度定數 k_2 는 既知의 $x^{\text{II}}(\theta)$, k_1 , θ 等을 써서 trial-error method로 計算되었는데 1000°C 에서는 많은 誤差가 許容되었으며 900°C 에서는 近似的으로 맞으나, 800°C 以下에서는 잘 맞는다. 물론 k_2 의 計算에서도 $\log x^{\text{III}}(\theta)$ vs θ 에서와 마찬가지로 예열시간 20分을 加해서 計算하므로써 (9)式과의 一致性이 좋아졌다.

k_2 를 k_1 와 함께 Fig. 9 $1/T$ 에 对해서 plot 했는데 k_1 과 같이 完全한 直線關係는 없으나 直線的 경향은充分히 있다. k_1 , k_2 의 slope으로부터 活性化 energy 를 計算해 보면 反應 1의 活性化 energy $E_1=4.943$ kcal/g-mole, 反應 2의 活性化 energy $E_2=5.041$ kcal/g-mole이다. 이를 고찰해 보면 反應 1은 反應 2보다

活性化 energy는 작아서 反應始作은 먼저 일어나지만 反應速度는 反應 2가 더 크다.

그러나 文獻¹⁰에 依하면 反應 1이 反應 2보다 反應 speed가 빨라서 酸化鐵의 還元反應은 反應 2가律速이라고 規定했는데 本研究에서는 오히려 反應 1이律速인 셈이다.

그런데 本研究의 예비실험¹²에서 보면 反應 1은 解離壓이 커서 酸素存在下에서도 잘 일어나나 反應 2는 解離壓이 매우 작아서 極小量의 酸素存在에서 일어나지 않은點으로 보아 文獻치는 酸素存在下에 反應시킨 결과이리라 본다.

結論

1. 1 mole의 Fe_2O_3 를 完全히 金屬鐵로 還元시키는데 필요한 CO의 量은 約 4 gmole-CO/mole- Fe_2O_3 이다.

2. 試料 size가 50~100 mesh 일 때 90% 以上의 還元率을 올리려면 900°C 以上에서 적어도 3~5時間은 反應시켜야 한다.

3. Jander 等의 既往研究者の 反應速度式과 좋은 一致를 뜻 보았다.

4. 이제껏 많은 研究者들은 대부분 환원률로써 反應速度式을 표시 했는데 本實驗條件下에서는 非可逆一次反應으로 展開한

$$x^{\text{III}}(\theta) = x_0^{\text{III}} e^{-k_1 \theta}$$

$$x^{\text{II}}(\theta) = \frac{k_1 x_0^{\text{II}}}{k_2 - k_1} (e^{-k_1 \theta} - e^{-k_2 \theta}) + x_0^{\text{II}} e^{-k_2 \theta}$$

가 잘 맞았다.

5. 既往研究에서는 酸化鐵還元反應은 $\text{FeO} \rightarrow \text{Fe}$ 과정이律速으로 規定되었는데 本實驗條件下에서는 $\text{Fe}_2\text{O}_3 \rightarrow 2\text{FeO}$ 가律速단계였다.

References

- 日本粉末冶金技術協會編; “還元爐および燒結爐” p. 14~45 (1964)
- Stalhead J.; Centenary Congress of the Societe D' L'industrie Min **Sb** 5 1(1955-6)
- 尹錫文; 化學工學 3 (1966)
- 三木貢治; 電氣製鋼 8 239(1942)
- 尹錫文; Trans of ASME 54 129(1961)
- Feinman J. and et al; A. I. C. h. E. J 7 584(1961)
- Mcgeorge A., et al; I & EC Process Design and Develop. 1 217(1962)
- Themelis N. J., et al; A. I. Ch. E. J 8 437(1962)
- 井本立也; 化學工學(日本) 30 538(1966)
- 荒川昌敏; 粉粒體混合層を利用した鐵鑄石의還元 (1965)
- 南宮寔, 柳慶玉; 한국화학공학회 1965年研究發表會發表(1965, 11)
- ibid, 한국화학공학회 1966年研究發表會發表(1966. 5)
- Jander W.; Z. anorg. u. allgem. chem. 163 1(1927)
- McKewan W. M.; Trans. of AIME 212 791(1958)